

Apprentissage de vote de majorité pour la classification supervisée et l'adaptation de domaine approches PAC-Bayésiennes et combinaison de similarités

Emilie Morvant

Laboratoire d'Informatique Fondamentale, QARMA Group, Aix*Marseille Université, France



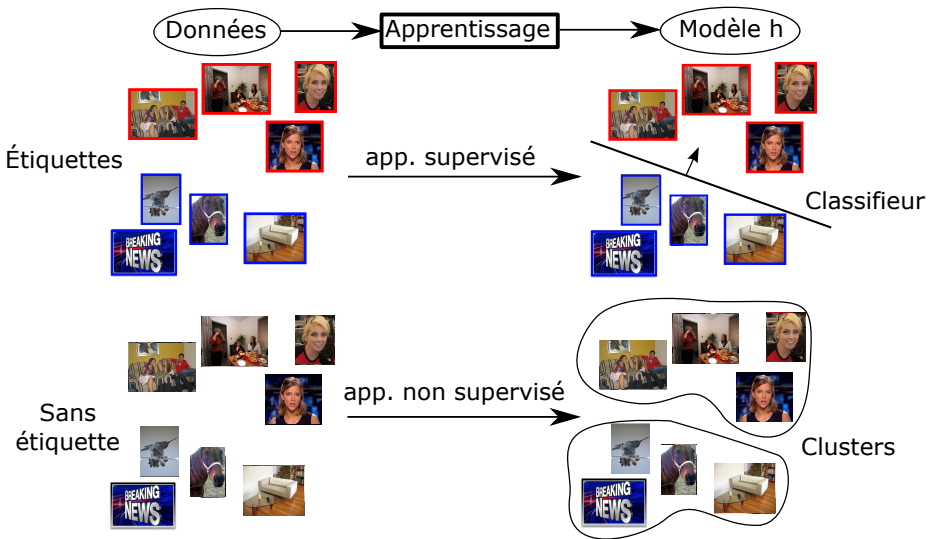
Rapporteurs : Michèle Sebag, Mario Marchand
Examinateurs : Antoine Cornuéjols, Rémi Gilleron, Liva Ralaivola
Directeur : Amaury Habrard
Co-directeur : Stéphane Ayache

Soutenance de thèse
18 septembre 2013

Contexte de la thèse

Apprentissage automatique

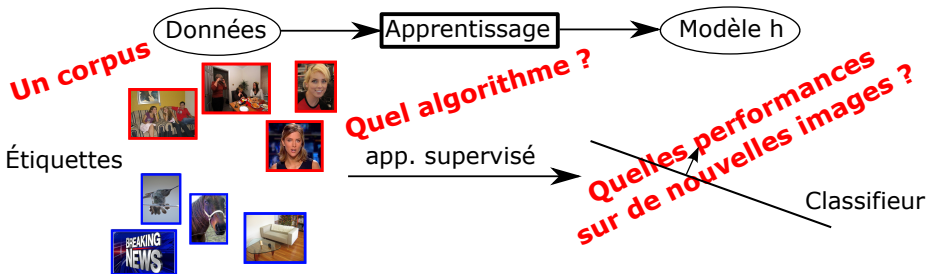
Tâche : Y-a-t-il une Personne dans l'image/la vidéo ?



Contexte de la thèse

Apprentissage automatique

Tâche : Y-a-t-il une Personne dans l'image/la vidéo ?

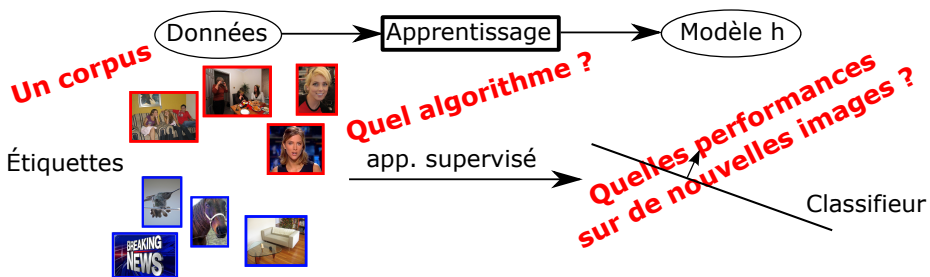


Comment apprendre h pour qu'il se trompe le moins possible sur de nouvelles images ?

Contexte de la thèse

Apprentissage automatique

Tâche : Y-a-t-il une Personne dans l'image/la vidéo ?



Comment apprendre h pour qu'il se trompe le moins possible sur de nouvelles images ?

Solution : minimiser l'erreur empirique mesurée sur les données d'apprentissage

⇒ Requiert des garanties ⇒ Borne en généralisation

$$\text{erreur réelle} \leq \text{erreur empirique} + f(\text{complexité, nb de données})$$

Problématiques

- ① Comment tirer bénéfice de différentes descriptions ? *ex : son, texte, image, couleur, ...*

- ② Plusieurs objets différents à reconnaître. *ex : personne, canapé, cheval, ...*

- ③ Les nouvelles images proviennent d'un corpus différent. *ex : photos → vidéos*

Problématiques

- ① Comment tirer bénéfice de différentes descriptions ? *ex : son, texte, image, couleur, ...*
⇒ **multimodalité, multivue, combinaisons/fusion de modèles ⇒ vote de majorité**

- ② Plusieurs objets différents à reconnaître. *ex : personne, canapé, cheval, ...*

- ③ Les nouvelles images proviennent d'un corpus différent. *ex : photos → vidéos*

Contexte de la thèse

Problématiques

Problématiques

- ① Comment tirer bénéfice de différentes descriptions ? ex : son, texte, image, couleur, ...
⇒ **multimodalité, multivue, combinaisons/fusion de modèles** ⇒ **vote de majorité**

Qu'est ce qu'un vote de majorité ?

\mathcal{H} : un ensemble de modèles/votants retournant -1 ou $+1$

Objectif : Construire un vote de majorité pondéré sur \mathcal{H} : $\text{sign} \left[\sum_{h \in \mathcal{H}} \rho(h) h(\mathbf{x}) \right]$

Question : Comment apprendre les poids $\rho(h)$?

- ② Plusieurs objets différents à reconnaître. ex : personne, canapé, cheval, ...
- ③ Les nouvelles images proviennent d'un corpus différent. ex : photos → vidéos

Contexte de la thèse

Problématiques

Problématiques

- ① Comment tirer bénéfice de différentes descriptions ? ex : son, texte, image, couleur, ...
⇒ **multimodalité, multivue, combinaisons/fusion de modèles** ⇒ **vote de majorité**

Qu'est ce qu'un vote de majorité ?

\mathcal{H} : un ensemble de modèles/votants retournant -1 ou $+1$

Objectif : Construire un vote de majorité pondéré sur \mathcal{H} : $\text{sign} \left[\sum_{h \in \mathcal{H}} \rho(h) h(\mathbf{x}) \right]$

Question : Comment apprendre les poids $\rho(h)$?

- ② Plusieurs objets différents à reconnaître. ex : personne, canapé, cheval, ...
⇒ **classification multiclasse ou multilabel**
- ③ Les nouvelles images proviennent d'un corpus différent. ex : photos → vidéos

Contexte de la thèse

Problématiques

Problématiques

- ① Comment tirer bénéfice de différentes descriptions ? ex : *son, texte, image, couleur, ...*
⇒ **multimodalité, multivue, combinaisons/fusion de modèles** ⇒ **vote de majorité**

Qu'est ce qu'un vote de majorité ?

\mathcal{H} : un ensemble de modèles/votants retournant -1 ou $+1$

Objectif : Construire un vote de majorité pondéré sur \mathcal{H} : $\text{sign} \left[\sum_{h \in \mathcal{H}} \rho(h) h(\mathbf{x}) \right]$

Question : Comment apprendre les poids $\rho(h)$?

- ② Plusieurs objets différents à reconnaître. ex : *personne, canapé, cheval, ...*
⇒ **classification multiclasse ou multilabel**
- ③ Les nouvelles images proviennent d'un corpus différent. ex : *photos → vidéos*
⇒ **on doit adapter le modèle** ⇒ **adaptation de domaine**

Contributions de la thèse

Classification supervisée et théorie PAC-Bayésienne

- Vote de majorité constraint et classification binaire
 - ▶ Application à des classifieurs de type k plus proches voisins (CAp'13)
 - ▶ Spécialisation à la fusion de classifieurs en multimédia
- Classification multiclasse
 - ▶ Borne PAC-Bayésienne sur la confusion du classifieur de Gibbs (ICML'12, CAp'12)
 - ▶ Borne sur le risque du vote de majorité pondéré

Adaptation de domaine

- Adaptation de domaine par pondération de fonctions de similarité (ϵ, γ, τ) -bonnes (ICDM'11, CAp'11, KAIS'12)
- Analyse PAC-Bayésienne de l'adaptation de domaine (ICML'13, CAp'13)

Contributions de la thèse

Classification supervisée et théorie PAC-Bayésienne

- Vote de majorité constraint et classification binaire
 - ▶ Application à des classifieurs de type k plus proches voisins (CAp'13)
 - ▶ Spécialisation à la fusion de classifieurs en multimédia
- Classification multiclasse
 - ▶ Borne PAC-Bayésienne sur la confusion du classifieur de Gibbs (ICML'12, CAp'12)
 - ▶ Borne sur le risque du vote de majorité pondéré

Adaptation de domaine

- Adaptation de domaine par pondération de fonctions de similarité (ϵ, γ, τ) -bonnes (ICDM'11, CAp'11, KAIS'12)
- Analyse PAC-Bayésienne de l'adaptation de domaine (ICML'13, CAp'13)

- 1 La théorie de l'adaptation de domaine
- 2 Adaptation de domaine par pondération de fonctions de similarité (ϵ, γ, τ) -bonnes
- 3 Analyse PAC-Bayésienne de l'adaptation de domaine
- 4 Conclusion et perspectives générales

- 1 La théorie de l'adaptation de domaine
- 2 Adaptation de domaine par pondération de fonctions de similarité (ϵ, γ, τ) -bonnes
- 3 Analyse PAC-Bayésienne de l'adaptation de domaine
- 4 Conclusion et perspectives générales

La théorie de l'adaptation de domaine

Motivation

Quand a-t-on besoin d'adaptation de domaine (DA) ?

Lorsque la distribution **d'apprentissage** **diffère** de la distribution **de test**

Exemple



Personne pas de Personne



Corpus de **Photos étiquetées**

Domaine **source**



Y-a-t'il une Personne ?

Corpus de **Videos non étiquetées**

Domaine **cible**



⇒ Comment apprendre, à partir d'une **distribution**,
un classifieur performant sur une **distribution différente** ?

La théorie de l'adaptation de domaine

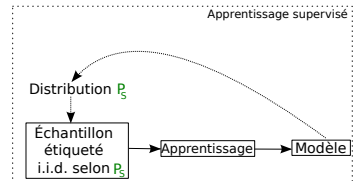
Description du problème et notations

$X \in \mathbb{R}^d$	espace d'entrée
$Y = \{-1, +1\}$	espace de sortie
\mathcal{H}	ensemble de classifieurs
P_S domaine source	distributions sur $X \times Y$
P_T domaine cible	
D_S, D_T	distributions marginales sur X

La théorie de l'adaptation de domaine

Description du problème et notations

$X \in \mathbb{R}^d$	espace d'entrée
$Y = \{-1, +1\}$	espace de sortie
\mathcal{H}	ensemble de classifieurs
P_S domaine source	
P_T domaine cible	
D_S, D_T	distributions marginales sur X



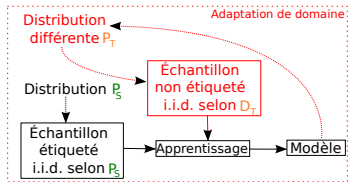
Classification supervisée

Objectif : Trouver $h \in \mathcal{H}$ minimisant **l'erreur source** : $R_{P_S}(h) = \mathbf{E}_{(x^s, y^s) \sim P_S} \mathbf{I}[h(x^s) \neq y^s]$

La théorie de l'adaptation de domaine

Description du problème et notations

$X \in \mathbb{R}^d$	espace d'entrée
$Y = \{-1, +1\}$	espace de sortie
\mathcal{H}	ensemble de classifieurs
P_S domaine source	
P_T domaine cible	
D_S, D_T	distributions marginales sur X



Classification supervisée

Objectif : Trouver $h \in \mathcal{H}$ minimisant l'**erreur source** : $R_{P_S}(h) = \mathbf{E}_{(x^s, y^s) \sim P_S} \mathbf{I}[h(x^s) \neq y^s]$

Adaptation de domaine

Contexte

$S = \{(x_i^s, y_i^s)\}_{i=1}^{m_s}$ Échantillon **source** tiré *i.i.d.* selon P_S
 $T = \{x_i^t\}_{i=1}^{m_t}$ Échantillon **cible** tiré *i.i.d.* selon D_T

Objectif : Trouver $h \in \mathcal{H}$ minimisant l'**erreur cible** : $R_{P_T}(h) = \mathbf{E}_{(x^t, y^t) \sim P_T} \mathbf{I}[h(x^t) \neq y^t]$

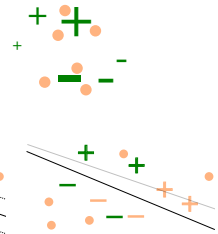
Contexte de la thèse

Adaptation de domaine

Trois grands types d'approches

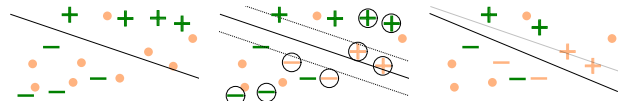
Repondérations des données

[Huang et al., 2007, Jiang and Zhai, 2007, Mansour et al., 2009b]



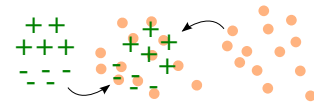
Auto-étiquetage

[Bruzzone and Marconcini, 2010]



Recherche d'un espace de représentation commun

[Blitzer et al., 2006, Blitzer et al., 2011, Chen et al., 2011, Daumé III, 2007, Daumé III et al., 2010]

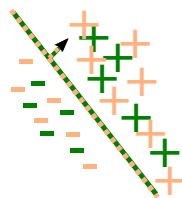
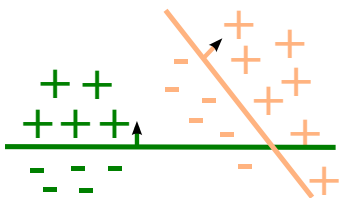


La théorie de l'adaptation de domaine

Nécessité d'une mesure de divergence entre les domaines

Problématique principale

Si h est appris depuis le domaine **source**,
quelle sera sa performance sur le domaine **cible** ?



➡ Si les domaines sont “proches”

alors un classifieur d'erreur **source** faible peut être un classifieur d'erreur **cible** faible

La théorie classique de l'adaptation de domaine

Les résultats de S. Ben-David et al. et Mansour et al.

Théorème classique [Ben-David et al., 2010, Mansour et al., 2009a]

Soit \mathcal{H} un espace d'hypothèses. Si D_S et D_T sont deux distributions sur X , alors :

$$\forall h \in \mathcal{H}, \quad \underbrace{R_{P_T}(h)}_{\text{erreur cible}} \leq R_{P_S}(h) + \frac{1}{2}d_{\mathcal{H}}(D_S, D_T) + \nu$$

La théorie classique de l'adaptation de domaine

Les résultats de S. Ben-David et al. et Mansour et al.

Théorème classique [Ben-David et al., 2010, Mansour et al., 2009a]

Soit \mathcal{H} un espace d'hypothèses. Si D_S et D_T sont deux distributions sur X , alors :

$$\forall h \in \mathcal{H}, \quad \overbrace{R_{P_T}(h)}^{\text{erreur cible}} \leq \underbrace{R_{P_S}(h)}_{\text{erreur source}} + \frac{1}{2}d_{\mathcal{H}}(D_S, D_T) + \nu$$

$R_{P_S}(h)$: erreur classique sur le domaine source

Minimisable via une méthode de classification supervisée sans adaptation

La théorie classique de l'adaptation de domaine

Les résultats de S. Ben-David et al. et Mansour et al.

Théorème classique [Ben-David et al., 2010, Mansour et al., 2009a]

Soit \mathcal{H} un espace d'hypothèses. Si D_S et D_T sont deux distributions sur X , alors :

$$\forall h \in \mathcal{H}, \underbrace{R_{D_T}(h)}_{\text{erreur cible}} \leq \underbrace{R_{D_S}(h)}_{\text{erreur source}} + \underbrace{\frac{1}{2}d_{\mathcal{H}}(D_S, D_T)}_{\text{divergences}} + \nu$$

$\frac{1}{2}d_{\mathcal{H}}(D_S, D_T)$: la \mathcal{H} -divergence entre D_S et D_T

$$\begin{aligned} \frac{1}{2}d_{\mathcal{H}}(D_S, D_T) &= \sup_{(h, h') \in \mathcal{H}^2} |R_{D_T}(h, h') - R_{D_S}(h, h')| \\ &= \sup_{(h, h') \in \mathcal{H}^2} \left| \mathbf{E}_{x^t \sim D_T} \mathbf{I}[h(x^t) \neq h'(x^t)] - \mathbf{E}_{x^s \sim D_S} \mathbf{I}[h(x^s) \neq h'(x^s)] \right| \end{aligned}$$

La théorie classique de l'adaptation de domaine

Les résultats de S. Ben-David et al. et Mansour et al.

Théorème classique [Ben-David et al., 2010, Mansour et al., 2009a]

Soit \mathcal{H} un espace d'hypothèses. Si D_S et D_T sont deux distributions sur X , alors :

$$\forall h \in \mathcal{H}, \quad \overbrace{R_{P_T}(h)}^{\text{erreur cible}} \leq \underbrace{R_{P_S}(h)}_{\text{erreur source}} + \underbrace{\frac{1}{2}d_{\mathcal{H}}(D_S, D_T) + \nu}_{\text{divergences}}$$

ν : divergence entre les étiquetages

$$\nu = \inf_{h' \in \mathcal{H}} (R_{P_S}(h') + R_{P_T}(h')),$$

erreur jointe optimale [Ben-David et al., 2010]

ou $\nu = R_{P_T}(h_T^*) + R_{P_T}(h_T^*, h_S^*)$,

h_X^* est la meilleure hypothèse sur le domaine \mathcal{X} [Mansour et al., 2009a]

La théorie classique de l'adaptation de domaine

Les résultats de S. Ben-David et al. et Mansour et al.

Théorème classique [Ben-David et al., 2010, Mansour et al., 2009a]

Soit \mathcal{H} un espace d'hypothèses. Si D_S et D_T sont deux distributions sur X , alors :

$$\forall h \in \mathcal{H}, \quad \overbrace{R_{P_T}(h)}^{\text{erreur cible}} \leq \underbrace{R_{P_S}(h)}_{\text{erreur source}} + \underbrace{\frac{1}{2}d_{\mathcal{H}}(D_S, D_T)}_{\text{divergence}} + \gamma$$

Idée

Minimiser cette borne pour construire un nouvel espace de projection

- rapprochant les deux distributions marginales
- tout en gardant de bonnes performances sur le domaine source
- en supposant que les deux domaines sont liés

La théorie classique de l'adaptation de domaine

Les résultats de S. Ben-David et al. et Mansour et al.

Théorème classique [Ben-David et al., 2010, Mansour et al., 2009a]

Soit \mathcal{H} un espace d'hypothèses. Si D_S et D_T sont deux distributions sur X , alors :

$$\forall h \in \mathcal{H}, \quad \overbrace{R_{P_T}(h)}^{\text{erreur cible}} \leq \underbrace{R_{P_S}(h)}_{\text{erreur source}} + \underbrace{\frac{1}{2}d_{\mathcal{H}}(D_S, D_T)}_{\text{divergence}} + \gamma$$

Première contribution

Travailler sur l'espace de projection explicite défini à partir de fonctions de similarités (ϵ, γ, τ) -bonnes

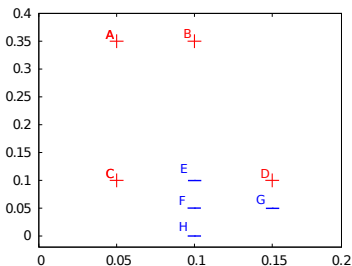
Sommaire

- 1 La théorie de l'adaptation de domaine
- 2 Adaptation de domaine par pondération de fonctions de similarité (ϵ, γ, τ) -bonnes
- 3 Analyse PAC-Bayésienne de l'adaptation de domaine
- 4 Conclusion et perspectives générales

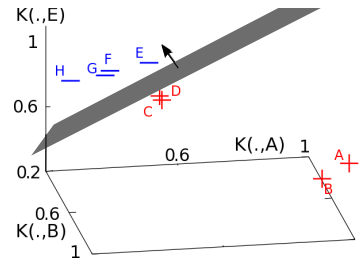
AD par pondération de fonctions de similarité (ϵ, γ, τ) -bonnes

Apprentissage supervisé avec des fonctions de similarité (ϵ, γ, τ) -bonnes [Balcan et al., 2008] (1/2)

$$K : X \times X \rightarrow [-1, +1] \quad \Rightarrow \quad \phi^R : \begin{cases} X & \rightarrow \mathbb{R}^r \\ \mathbf{x} & \mapsto \langle K(\mathbf{x}, \mathbf{x}_1'), \dots, K(\mathbf{x}, \mathbf{x}_r') \rangle \end{cases}$$



$$\phi^R$$



un classifieur linéaire dans le ϕ^R -espace \Leftrightarrow un vote de majorité pondéré sur $\{K(\cdot, \mathbf{x}_j')\}_{\mathbf{x}_j' \in R}$

$$h(\mathbf{x}) = \text{sign} \left[\sum_{j=1}^r \alpha_j K(\mathbf{x}, \mathbf{x}_j') \right]$$

AD par pondération de fonctions de similarité (ϵ, γ, τ) -bonnes

Apprentissage supervisé avec des fonctions de similarité (ϵ, γ, τ) -bonnes [Balcan et al., 2008] (2/2)

Définition [Balcan et al., 2008]

$K : X \times X \rightarrow [-1, +1]$ est dite **(ϵ, γ, τ) -bonne** sur un domaine P si

- (i) une proportion de $1 - \epsilon$ des exemples (x, y) satisfont : $\mathbb{E}_{(x', y') \sim P} [yy' K(x, x') | x' \in R] \geq \gamma$
- (ii) $\Pr_{x'} [x' \in R] \geq \tau$

Intuitivement

Pour $(x_1, y_1) \sim P$, on veut qu'en moyenne pour $(x'_2, y'_2) \in R$

si $y_1 = y'_2$
 x_1 est similaire à x'_2
 $K(x_1, x'_2) \geq \gamma$

si $y_1 \neq y'_2$
 x_1 est similaire à x'_2
 $K(x_1, x'_2) \leq -\gamma$

Remarque : Moins de contraintes qu'une fonction noyau

K ni symétrique, ni SDP \implies Facilite la modification l'espace pour adapter

AD par pondération de fonctions de similarité (ϵ, γ, τ) -bonnes

Minimiser l'erreur sur le domaine source

Rappel

Minimiser $R_{P_T}(h)$ à l'aide de la borne

$$\overbrace{R_{P_T}(h)}^{\text{erreur cible}} \leq \underbrace{R_{P_S}(h)}_{\text{erreur source}} + \underbrace{\frac{1}{2} d_{\mathcal{H}}(D_S, D_T)}_{\text{divergence}} + \psi$$

AD par pondération de fonctions de similarité (ϵ, γ, τ) -bonnes

Minimiser l'erreur sur le domaine source

Rappel

Minimiser $R_{P_T}(h)$ à l'aide de la borne

$$\overbrace{R_{P_T}(h)}^{\text{erreur cible}} \leq \underbrace{R_{P_S}(h)}_{\text{erreur source}} + \underbrace{\frac{1}{2} d_{\mathcal{H}}(D_S, D_T)}_{\text{divergence}} + \psi$$

On minimise $R_{P_S}(h)$ via le problème d'optimisation pour les SF

avec $S = \{(\mathbf{x}_i^s, y_i^s)\}_{i=1}^{m_s}$ et $R = \{\mathbf{x}_j'\}_{j=1}^r$

$$\left\{ \begin{array}{l} \min_{\boldsymbol{\alpha}} \frac{1}{m_s} \sum_{i=1}^{m_s} L(h, (\mathbf{x}_i^s, y_i^s)) + \lambda \|\boldsymbol{\alpha}\|_1, \\ \text{avec } L(h, (\mathbf{x}_i^s, y_i^s)) = \left[1 - y_i^s \sum_{j=1}^r \alpha_j K(\mathbf{x}_i^s, \mathbf{x}_j') \right]_+ \end{array} \right.$$

$$\|\boldsymbol{\alpha}\|_1 = \sum_{j=1}^r |\alpha_j|$$

AD par pondération de fonctions de similarité (ϵ, γ, τ) -bonnes

Minimiser la divergence entre les domaines

Minimiser $d_{\mathcal{H}}(\mathcal{D}_S, \mathcal{D}_T) \iff$ Rapprocher les marginales

Problème : minimiser simultanément la divergence et l'erreur source est difficile...

AD par pondération de fonctions de similarité (ϵ, γ, τ) -bonnes

Minimiser la divergence entre les domaines

Minimiser $d_{\mathcal{H}}(\mathcal{D}_S, \mathcal{D}_T) \iff$ Rapprocher les marginales

Problème : minimiser simultanément la divergence et l'erreur source est difficile...

Notre solution

\mathcal{C}_{ST} un ensemble de couples $(\mathbf{x}^s, \mathbf{x}^t) \in \mathcal{S} \times \mathcal{T}$

Construction d'un nouvel espace de projection ϕ_{new}^R

t.q. la différence entre les pertes de \mathbf{x}^s et \mathbf{x}^t est faible

$$\left| \left[1 - y \sum_{j=1}^r \alpha_j K(\mathbf{x}^s, \mathbf{x}'_j) \right]_+ - \left[1 - y \sum_{j=1}^r \alpha_j K(\mathbf{x}^t, \mathbf{x}'_j) \right]_+ \right| \leq \underbrace{\left\| {}^t \phi_{new}^R(\mathbf{x}^s) - {}^t \phi_{new}^R(\mathbf{x}^t) \right\|_1}_{\left\| {}^t \phi_{new}^R(\mathbf{x}^s) - {}^t \phi_{new}^R(\mathbf{x}^t) \right\|_1}$$

AD par pondération de fonctions de similarité (ϵ, γ, τ) -bonnes

Minimiser la divergence entre les domaines

Minimiser $d_{\mathcal{H}}(\mathcal{D}_S, \mathcal{D}_T) \iff$ Rapprocher les marginales

Problème : minimiser simultanément la divergence et l'erreur source est difficile...

Notre solution

\mathcal{C}_{ST} un ensemble de couples $(\mathbf{x}^s, \mathbf{x}^t) \in \mathcal{S} \times \mathcal{T}$

Construction d'un nouvel espace de projection ϕ_{new}^R

t.q. la différence entre les pertes de \mathbf{x}^s et \mathbf{x}^t est faible

$$\left| \left[1 - y \sum_{j=1}^r \alpha_j K(\mathbf{x}^s, \mathbf{x}'_j) \right]_+ - \left[1 - y \sum_{j=1}^r \alpha_j K(\mathbf{x}^t, \mathbf{x}'_j) \right]_+ \right| \leq \underbrace{\left\| {}^t \phi_{new}^R(\mathbf{x}^s) - {}^t \phi_{new}^R(\mathbf{x}^t) \right\|_1 \text{diag}(\boldsymbol{\alpha})}_{\left\| {}^t \phi_{new}^R(\mathbf{x}^s) - {}^t \phi_{new}^R(\mathbf{x}^t) \right\|_1}$$

$$\Rightarrow \phi_{new}^R(\cdot) = \langle \underbrace{\alpha_1 K(\cdot, \mathbf{x}'_1)}_{K_{new}(\cdot, \mathbf{x}'_1)}, \dots, \underbrace{\alpha_r K(\cdot, \mathbf{x}'_r)}_{K_{new}(\cdot, \mathbf{x}'_r)} \rangle$$

AD par pondération de fonctions de similarité (ϵ, γ, τ) -bonnes

Problème d'optimisation global

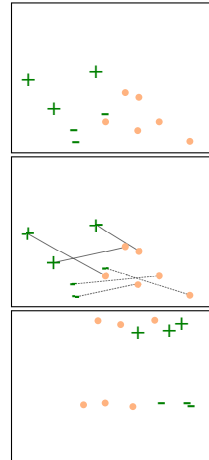
Algorithme DASF

Avec $S = \{(\mathbf{x}_i^s, y_i^s)\}_{i=1}^{m_s} \sim (\mathcal{P}_S)^{m_s}$ et $R = \{\mathbf{x}_j'\}_{j=1}^r$

Construction du ϕ^R -espace à l'aide α appris par

$$\begin{aligned} \min_{\alpha} \quad & \frac{1}{m_s} \sum_{i=1}^{m_s} L(h, (\mathbf{x}_i^s, y_i^s)) + \lambda \|\alpha\|_1 \\ & + \beta \sum_{(\mathbf{x}^s, \mathbf{x}^t) \in \mathcal{C}_{ST}} \left\| \left({}^t \phi^R(\mathbf{x}^s) - {}^t \phi^R(\mathbf{x}^t) \right) \text{diag}(\alpha) \right\|_1 \end{aligned}$$

$$\text{avec } L(h, (\mathbf{x}_i^s, y_i^s)) = \left[1 - y_i \sum_{j=1}^r \alpha_j K(\mathbf{x}_i^s, \mathbf{x}_j') \right]_+$$



AD par pondération de fonctions de similarité (ϵ, γ, τ) -bonnes

Problème d'optimisation global

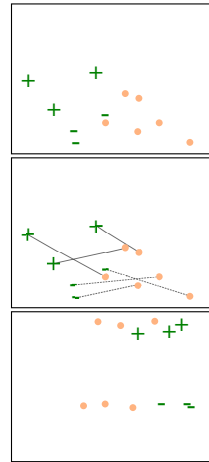
Algorithme DASF

Avec $S = \{(\mathbf{x}_i^s, y_i^s)\}_{i=1}^{m_s} \sim (\mathcal{P}_S)^{m_s}$ et $R = \{\mathbf{x}_j'\}_{j=1}^r$

Construction du ϕ^R -espace à l'aide α appris par

$$\begin{aligned} \min_{\alpha} \quad & \frac{1}{m_s} \sum_{i=1}^{m_s} L(h, (\mathbf{x}_i^s, y_i^s)) + \lambda \|\alpha\|_1 \\ & + \beta \sum_{(\mathbf{x}^s, \mathbf{x}^t) \in \mathcal{C}_{ST}} \left\| \left({}^t \phi^R(\mathbf{x}^s) - {}^t \phi^R(\mathbf{x}^t) \right) \text{diag}(\alpha) \right\|_1 \end{aligned}$$

$$\text{avec } L(h, (\mathbf{x}_i^s, y_i^s)) = \left[1 - y_i \sum_{j=1}^r \alpha_j K(\mathbf{x}_i^s, \mathbf{x}_j') \right]_+$$



Tester tous les couples $(\mathbf{x}^s, \mathbf{x}^t) \in \mathcal{C}_{ST}$ est intractable

⇒ Procédure itérative + Validation "circulaire"

L'intuition portée par la théorie

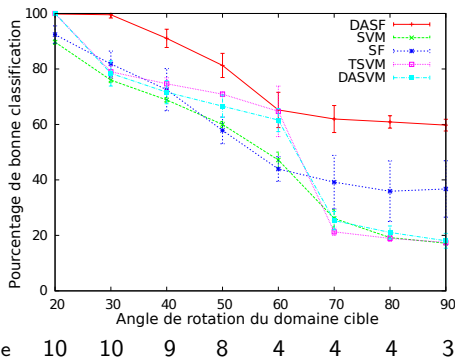
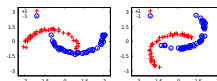
- Borne en généralisation
 - ↪ DASF est robuste sur le domaine **source**
- Analyse de la parcimonie
 - ↪ la parcimonie dépend de l'écart entre les coordonnées
 - ⇒ Les domaines sont éloignés
 - ⇒ La différence entre les coordonnées est élevée
 - ⇒ augmentation de la parcimonie

AD par pondération de fonctions de similarité (ϵ, γ, τ) -bonnes

Experimentations - lunes jumelles

Problème jouet : "lunes jumelles"

- 1 domaine source
- 8 domaines cibles selon 8 angles de rotations
- 10 tirages aléatoire pour chaque angle
- Performances sur 1500 exemples cibles
- Noyau gaussien ou renormalisation (non SDP, non symétrique) du noyau



AD par pondération de fonctions de similarité (ϵ, γ, τ) -bonnes

Experimentations - Annotation d'images

Annotation d'images

- Domaine source : PascalVOC 2007 avec un ratio $+/-$ de 1/3
- Deux domaines cibles :
 - ▶ Ratio $+/-$ différent : PascalVOC 2007 Test
 - ▶ De même ratio $+/-$: TrecVid 2007
- F-mesure sur le domaine cible
- Noyau gaussien ou renormalisation (non SDP, non symétrique) du noyau

		SVM	SF	TSVM	DASVM	DASF
VOC vs VOC						
Moy. sur 20 conc.	F-mes. Taille	0.22 642	0.19 210	0.17 705	0.20 622	0.25 200
VOC vs Trec						
BOAT	F-mes. Taille	0.56 351	0.49 214	0.56 498	0.52 202	0.57 120
CAR	F-mes. Taille	0.43 1096	0.50 176	0.52 631	0.55 627	0.55 254
MONITOR	F-mes. Taille	0.19 698	0.34 246	0.37 741	0.30 523	0.42 151
PERSON	F-mes. Taille	0.52 951	0.45 226	0.46 1024	0.54 274	0.57 19
PLANE	F-mes. Taille	0.32 428	0.54 178	0.61 259	0.52 450	0.66 7
Moy. sur les 5 conc.	F-mes. Taille	0.40 705	0.47 208	0.50 631	0.49 415	0.55 110

VOC vs VOC : Points raisonnables pour le concept Personne



AD par pondération de fonctions de similarité (ϵ, γ, τ) -bonnes

Conclusion

- Idée : Contrôle de la borne d'adaptation de domaine théorique
- Algorithme d'adaptation itératif
 - ▶ construit un nouvel espace de projection
 - ▶ rapproche les domaines tout en gardant de bonnes garanties sur le domaine source
 - ▶ en répondant à une fonction de similarité (ϵ, γ, τ) -bonne
- Pas d'étiquette cible (mais a été généralisé à l'utilisation d'étiquettes cibles)
- Avec des garanties en généralisation
 - ▶ l'algorithme est robuste sur le domaine source
- La parcimonie des modèles dépend de la difficulté du problème

AD par pondération de fonctions de similarité (ϵ, γ, τ) -bonnes

Et alors ?

Les inconvénients de cette approche

- le couplage \implies les points proches sont de même étiquette
- procédure itérative \implies compliquée et lourde à mettre en œuvre
- pas de justification théorique de la minimisation de la divergence
- la \mathcal{H} -divergence est difficile à optimiser en même temps que l'erreur source
- l'analyse classique peut être vue comme une analyse dans le pire cas

Et alors ?

Les inconvénients de cette approche

- le couplage \Rightarrow les points proches sont de même étiquette
- procédure itérative \Rightarrow compliquée et lourde à mettre en œuvre
- pas de justification théorique de la minimisation de la divergence
- la \mathcal{H} -divergence est difficile à optimiser en même temps que l'erreur source
- l'analyse classique peut être vue comme une analyse dans le pire cas

Seconde contribution

Une première analyse PAC-Bayésienne de
l'adaptation de domaine

Analyse en “moyenne” sur $\mathcal{H} \Rightarrow$ Garanties pour les votes de majorité

Sommaire

- 1 La théorie de l'adaptation de domaine
- 2 Adaptation de domaine par pondération de fonctions de similarité (ϵ, γ, τ) -bonnes
- 3 Analyse PAC-Bayésienne de l'adaptation de domaine
- 4 Conclusion et perspectives générales

Analyse PAC-Bayésienne de l'adaptation de domaine

La théorie PAC-Bayésienne - Description du problème

$X \in \mathbb{R}^d$; $Y = \{-1, +1\}$ espace de sortie; \mathcal{H} ensemble de classifieurs; P_S domaine sur $X \times Y$

Classification supervisée

Objectif : Trouver $h \in \mathcal{H}$ minimisant l'erreur : $R_{P_S}(h) = \mathbf{E}_{(x^s, y^s) \sim P_S} \mathbf{I}[h(x^s) \neq y^s]$

Approche PAC-Bayésienne [McAllester, 1999]

Objectif : Trouver le **vote de majorité ρ -pondéré** B_ρ sur \mathcal{H} minimisant l'erreur $R_{P_S}(B_\rho)$

$$B_\rho(\mathbf{x}) = \text{sign} \left[\sum_{h \in \mathcal{H}} \rho(h) h(\mathbf{x}) \right]$$

où ρ est la distribution **posterior** sur \mathcal{H} apprise à partir d'une distribution **prior** π sur \mathcal{H}

Analyse PAC-Bayésienne de l'adaptation de domaine

La théorie PAC-Bayésienne - Le classifieur stochastique de Gibbs

- La théorie PAC-Bayésienne **ne** borne **pas** directement $R_{P_S}(B_\rho)$
- mais l'erreur du **classifieur de Gibbs** G_ρ
 - qui prédit l'étiquette de $x \in X$ en
 - ▶ choisissant aléatoirement selon ρ un h
 - ▶ puis en renvoyant $h(x)$

Analyse PAC-Bayésienne de l'adaptation de domaine

La théorie PAC-Bayésienne - Le classifieur stochastique de Gibbs

- La théorie PAC-Bayésienne **ne** borne **pas** directement $R_{PS}(B_\rho)$
- mais l'erreur du **classifieur de Gibbs** G_ρ
qui prédit l'étiquette de $x \in X$ en
 - ▶ choisissant aléatoirement selon ρ un h
 - ▶ puis en retournant $h(x)$

IMPORTANT — l'erreur de G_ρ correspond à l'espérance selon ρ des erreurs de \mathcal{H} :

$$R_{PS}(G_\rho) = \mathbf{E}_{h \sim \rho} R_{PS}(h)$$

On a : $R_{PS}(B_\rho) \leq 2R_{PS}(G_\rho)$

\Rightarrow une majoration de $R_{PS}(G_\rho) \Rightarrow$ une majoration de $R_{PS}(B_\rho)$

Analyse PAC-Bayésienne de l'adaptation de domaine

La théorie PAC-Bayésienne - La borne de Catoni

Théorème ([Catoni, 2007], comme énoncé dans [Germain et al., 2009])

Pour tout P_S sur $X \times Y$, pour tout \mathcal{H} , pour tout π sur \mathcal{H} , pour tout $\delta \in (0, 1]$, et pour tout $c > 0$, avec une proba. d'au moins $1 - \delta$ sur $S \sim (P_S)^{m_s}$, pour tout ρ sur \mathcal{H} , on a

$$\overbrace{R_{P_S}(G_\rho)}^{\text{erreur réelle}} \leq \frac{c}{1 - e^{-c}} \left[\underbrace{R_S(G_\rho)}_{\text{erreur empirique}} + \underbrace{\frac{\text{KL}(\rho \parallel \pi) + \ln \frac{1}{\delta}}{m_s c}}_{f(\text{"complexité"}, \text{nb données})} \right]$$

avec $\text{KL}(\rho \parallel \pi) = \mathbf{E}_{h \sim \rho} \ln \frac{\rho(h)}{\pi(h)}$ la divergence de Kullback-Leibler

- c contrôle le compromis entre $R_S(G_\rho)$ et $\frac{\text{KL}(\rho \parallel \pi)}{m_s}$

Analyse PAC-Bayésienne de l'adaptation de domaine

La théorie PAC-Bayésienne - La borne de Catoni

Théorème ([Catoni, 2007], comme énoncé dans [Germain et al., 2009])

Pour tout P_S sur $X \times Y$, pour tout \mathcal{H} , pour tout π sur \mathcal{H} , pour tout $\delta \in (0, 1]$, et pour tout $c > 0$, avec une proba. d'au moins $1 - \delta$ sur $S \sim (P_S)^{m_s}$, pour tout ρ sur \mathcal{H} , on a

$$\overbrace{R_{P_S}(G_\rho)}^{\text{erreur réelle}} \leq \frac{c}{1 - e^{-c}} \left[\underbrace{R_S(G_\rho)}_{\text{erreur empirique}} + \underbrace{\frac{\text{KL}(\rho \parallel \pi) + \ln \frac{1}{\delta}}{m_s c}}_{f(\text{"complexité"}, \text{nb données})} \right]$$

avec $\text{KL}(\rho \parallel \pi) = \mathbf{E}_{h \sim \rho} \ln \frac{\rho(h)}{\pi(h)}$ la divergence de Kullback-Leibler

- c contrôle le compromis entre $R_S(G_\rho)$ et $\frac{\text{KL}(\rho \parallel \pi)}{m_s}$
- L'algorithme PBGD : ensemble des classificateurs linéaires ρ_w gaussienne isotropique centrée en w
Étant donné $S \sim P_S^{m_s}$

$$\operatorname{argmin}_{\rho_w} \mathbf{C} m_s R_S(G_{\rho_w}) + \underbrace{\frac{1}{2} \|w\|^2}_{\text{KL}(\rho_w \parallel \pi_0)}$$

Analyse PAC-Bayésienne de l'adaptation de domaine

Revenons à l'adaptation de domaine

Adaptation de domaine

Nécessité d'une divergence entre les domaines



Théorie PAC-Bayésienne

Vote de majorité ρ -pondéré

Analyse en "moyenne" / en espérance sur \mathcal{H}

Analyse PAC-Bayésienne de l'adaptation de domaine

Une divergence entre domaines pour la théorie PAC-Bayésienne

Définition : ρ -désaccord entre D_S et D_T

$$\text{dis}_\rho(D_S, D_T) = \left| \mathbf{E}_{(h,h') \sim \rho^2} [R_{D_T}(h, h') - R_{D_S}(h, h')] \right|$$

où : $\mathbf{E}_{(h,h') \sim \rho^2} R_D(h, h') = \mathbf{E}_{(h,h') \sim \rho^2} \mathbf{E}_{x \sim D} \mathbf{I}[h(x) \neq h'(x)]$

Analyse PAC-Bayésienne de l'adaptation de domaine

Une divergence entre domaines pour la théorie PAC-Bayésienne

Définition : ρ -désaccord entre D_S et D_T

$$\text{dis}_\rho(D_S, D_T) = \left| \mathbf{E}_{(h,h') \sim \rho^2} [R_{D_T}(h, h') - R_{D_S}(h, h')] \right|$$

où : $\mathbf{E}_{(h,h') \sim \rho^2} R_D(h, h') = \mathbf{E}_{(h,h') \sim \rho^2} \mathbf{E}_{x \sim D} \mathbf{I}[h(\mathbf{x}) \neq h'(\mathbf{x})]$

En suivant l'idée portée par la C borne [Lacasse et al., 2007] :

$$R_{P_S}(B_\rho) \leq 1 - \frac{(1 - 2R_{P_S}(G_\rho))^2}{1 - 2 \mathbf{E}_{(h,h') \sim \rho^2} R_{D_S}(h, h')}$$

L'intuition est

Si $R_{P_S}(G_\rho) \simeq R_{P_T}(G_\rho)$

$\Rightarrow R_{P_S}(B_\rho) \simeq R_{P_T}(B_\rho)$ quand $\mathbf{E}_{(h,h') \sim \rho^2} R_{D_S}(h, h') \simeq \mathbf{E}_{(h,h') \sim \rho^2} R_{D_T}(h, h')$

Analyse PAC-Bayésienne de l'adaptation de domaine

La borne d'adaptation de domaine pour le classifieur de Gibbs

Théorème

Soit \mathcal{H} un espace d'hypothèses. Pour toute distribution ρ sur \mathcal{H} , on a

$$R_{P_T}(G_\rho) \leq R_{P_S}(G_\rho) + \text{dis}_\rho(D_S, D_T) + \nu_\rho$$

avec $\rho_T^* = \operatorname{argmin}_\rho R_{P_T}(G_\rho)$ est le meilleur posterior sur le domaine cible
et $\nu_\rho = R_{P_T}(G_{\rho_T^*}) + \mathbb{E}_{h \sim \rho} \mathbb{E}_{h' \sim \rho_T^*} [R_{D_T}(h, h') + R_{D_S}(h, h')]$

Analyse PAC-Bayésienne de l'adaptation de domaine

Différences avec la borne classique

$$R_{P_T}(G_\rho) \leq R_{P_S}(G_\rho) + \text{dis}_\rho(D_S, D_T) + \nu_\rho \quad \text{Vs} \quad R_{P_T}(h) \leq R_{P_S}(h) + \frac{1}{2}d_H(D_S, D_T) + \nu$$

- notre borne porte sur l'erreur du classifieur de Gibbs : $R_{P_T}(G_\rho) = \mathbf{E}_{h \sim \rho} R_{P_T}(h)$
- la notion de divergence diffère

Rappel :

$$\begin{aligned}\text{dis}_\rho(D_S, D_T) &= \left| \mathbf{E}_{(h, h') \sim \rho^2} [R_{D_T}(h, h') - R_{D_S}(h, h')] \right| \\ \frac{1}{2}d_H(D_S, D_T) &= \sup_{(h, h') \in \mathcal{H}^2} |R_{D_T}(h, h') - R_{D_S}(h, h')|\end{aligned}$$

- ▶ $\frac{1}{2}d_H(D_S, D_T)$ est une divergence “dans le pire cas”
- ▶ $\text{dis}_\rho(D_S, D_T)$ est spécifique au classifieur G_ρ considéré
- ▶ on a : $\frac{1}{2}d_H(D_S, D_T) \geq \text{dis}_\rho(D_S, D_T)$

Analyse PAC-Bayésienne de l'adaptation de domaine

La borne d'adaptation de domaine pour le classifieur de Gibbs

Théorème

Soit \mathcal{H} un espace d'hypothèses. Pour toute distribution ρ sur \mathcal{H} , on a

$$R_{P_T}(G_\rho) \leq R_{P_S}(G_\rho) + \text{dis}_\rho(D_S, D_T) + \nu_\rho$$

avec $\rho_T^* = \operatorname{argmin}_\rho R_{P_T}(G_\rho)$ est le meilleur posterior sur le domaine cible
et $\nu_\rho = R_{P_T}(G_{\rho_T^*}) + \mathbb{E}_{h \sim \rho} \mathbb{E}_{h' \sim \rho_T^*} [R_{D_T}(h, h') + R_{D_S}(h, h')]$

Notre solution pour l'adaptation PAC-Bayésienne

Minimisation simultanée de $R_{P_S}(G_\rho)$ et $\text{dis}_\rho(D_S, D_T)$ avec des justifications théoriques

Analyse PAC-Bayésienne de l'adaptation de domaine

La borne d'adaptation de domaine pour le classifieur de Gibbs — borne de consistance

Théorème : Borne en généralisation PAC-Bayésienne (à la Catoni)

Pour tout P_S et P_T sur $X \times Y$, pour tout \mathcal{H} , pour tout π sur \mathcal{H} , pour tout $\delta \in (0, 1]$, pour tout $a > 0$, $c > 0$, avec une proba. d'au moins $1 - \delta$ sur $S \times T \sim (P_S \times D_T)^m$, on a

$$\forall \rho \sim \mathcal{H}, \overbrace{R_{P_T}(G_\rho)}^{\text{erreur réelle cible}} \leq c' \underbrace{R_S(G_\rho)}_{\text{erreur empirique source}} + a' \underbrace{\text{dis}_\rho(S, T)}_{\rho\text{-desaccord empirique}} + \underbrace{\left(\frac{c'}{c} + \frac{2a'}{a}\right) \frac{\text{KL}(\rho \parallel \pi) + \ln \frac{3}{\delta}}{m}}_{f("complexité", \text{ nb données})} + \nu_\rho + \alpha' - 1$$

$$\text{où } c' = \frac{c}{1-e^{-c}} \text{ et } a' = \frac{2a}{1-e^{-2a}}$$

➡ Comme pour PBGD : spécialisation aux classificateurs linéaires

Analyse PAC-Bayésienne de l'adaptation de domaine

Spécialisation aux classificateurs linéaires

L'algorithme PBDA

Étant donné $S = \{(\mathbf{x}_i^s, y_i^s)\}_{i=1}^m \sim (\mathcal{P}_S)^m$, $T = \{\mathbf{x}_i^t\}_{i=1}^m \sim (\mathcal{P}_T)^m$

$$\operatorname{argmin}_{\rho_{\mathbf{w}}} C m R_S(G_{\rho_{\mathbf{w}}}) + A m \operatorname{dis}_{\rho_{\mathbf{w}}}(S, T) + \underbrace{\frac{1}{2} \|\mathbf{w}\|^2}_{\text{KL}(\rho_{\mathbf{w}} \parallel \pi_0)}$$

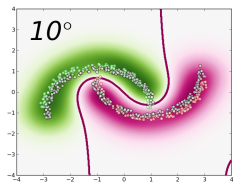
où $\operatorname{dis}_{\rho_{\mathbf{w}}}(S, T) = \left| \mathbf{E}_{(h, h') \sim \rho_{\mathbf{w}}^2} R_S(h, h') - \mathbf{E}_{(h, h') \sim \rho_{\mathbf{w}}^2} R_T(h, h') \right|$

Analyse PAC-Bayésienne de l'adaptation de domaine

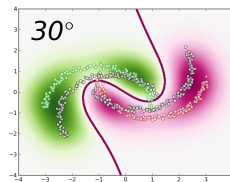
Expérimentations - lunes jumelles

Problème jouet : "les lunes jumelles"

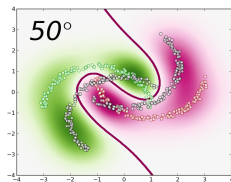
- 1 domaine source
- 8 domaines cibles selon 8 angles de rotations
- 10 tirages aléatoire pour chaque angle
- Performances sur un ensemble de test de 1 500 exemples cibles
- Noyau gaussien



(a)



(b)



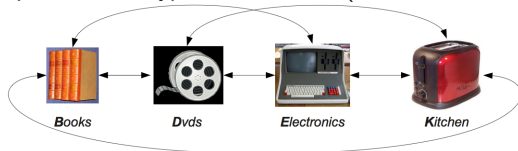
(c)

Analyse PAC-Bayésienne de l'adaptation de domaine

Expérimentation - Analyse d'avis

Avis sur des produits Amazon.com

- 12 tâches d'adaptation d'un type vers un autre (ex. books → kitchen)



- ▶ Domaine source : 2 000 exemples étiquetés
- ▶ Domaine cible : 2 000 exemples non étiquetés
- ▶ Performances sur l'échantillon cible de test : entre 3 000 et 6 000 exemples
- Dimension des données : $\sim 40,000$
- Noyau linéaire

	Erreurs moyennes
PBGD3 [Germain et al., 2009]	0.226
SVM	0.231
DASF	0.275
DASVM [Bruzzone and Marconcini, 2010]	0.204
CODA [Chen et al., 2011]	0.210
PBDA (<i>5 × plus rapide</i>)	0.208

Analyse PAC-Bayésienne de l'adaptation de domaine

Conclusion et Perspectives

Conclusion

- La première analyse PAC-Bayésienne de l'adaptation de domaine
 - ▶ exprimée comme une espérance selon ρ sur une classe d'hypothèses
 - ▶ une divergence qui dépend de ρ
 - ▶ directement optimisable (avec des justifications théoriques)
- Un premier algorithme spécialisé aux classificateurs linéaires
 - ▶ résultats prometteurs

Points forts

- Minimisation directe divergence/erreur source
- Nouvelles pistes pour l'adaptation de domaine

Analyse PAC-Bayésienne de l'adaptation de domaine

Conclusion et Perspectives

Conclusion

- La première analyse PAC-Bayésienne de l'adaptation de domaine
 - ▶ exprimée comme une espérance selon ρ sur une classe d'hypothèses
 - ▶ une divergence qui dépend de ρ
 - ▶ directement optimisable (avec des justifications théoriques)
- Un premier algorithme spécialisé aux classificateurs linéaires
 - ▶ résultats prometteurs

Points forts

- Minimisation directe divergence/erreur source
- Nouvelles pistes pour l'adaptation de domaine

Perspectives

- Utilité de distribution(s) prior
- Traitement du terme ν_ρ (*une première amélioration de la borne*)

Sommaire

- 1 La théorie de l'adaptation de domaine
- 2 Adaptation de domaine par pondération de fonctions de similarité (ϵ, γ, τ) -bonnes
- 3 Analyse PAC-Bayésienne de l'adaptation de domaine
- 4 Conclusion et perspectives générales

Conclusion

- DASF → un algorithme “classique” d’adaptation
- PBDA → un premier algorithme pour l’adaptation PAC-Bayésienne

Mais aussi :

- P-MinCq → extension d’un algorithme PAC-Bayésien pour considérer un prior
→ minimise la C -borne
- Étude PAC-Bayésienne du multiclasse → met en jeu la matrice de confusion
→ généralisation de la C -borne

Perspectives générales

Comment dériver un algorithme pour **plusieurs classes, des sorties structurées ?**

- ↪ la matrice de confusion
- ↪ vote de majorité multiclassé
- ↪ code correcteur

Perspectives générales

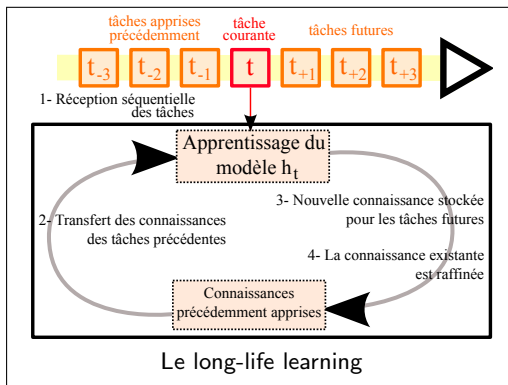
Comment dériver un algorithme pour **plusieurs classes, des sorties structurées ?**

- ↪ la matrice de confusion
- ↪ vote de majorité multiclasse
- ↪ code correcteur

Comment utiliser des modèles de **tâches** précédentes/simultanées ?

Comment tirer parti de **connaissances** ?

Comment **valider** les hyperparamètres ?



Perspectives générales

Comment dériver un algorithme pour **plusieurs classes, des sorties structurées ?**

- ↪ la matrice de confusion
- ↪ vote de majorité multiclasse
- ↪ code correcteur

Comment utiliser des modèles de **tâches** précédentes/simultanées ?

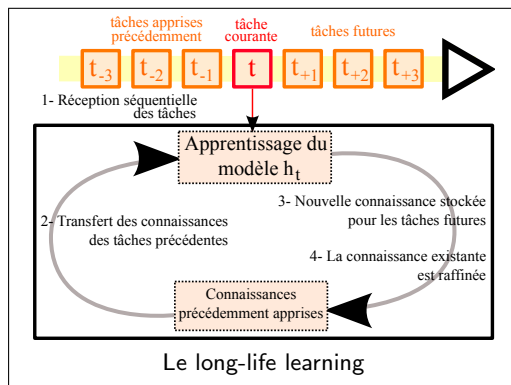
- ↪ vote de majorité
- ↪ apprentissage en ligne

Comment tirer parti de **connaissances** ?

- ↪ notion de prior et PAC-Bayes
- ↪ divergence entre tâches

Comment **valider** les hyperparamètres ?

- ↪ une validation “PAC-Bayésienne”



Merci pour votre attention.

References

-  Balcan, M. F., Blum, A. and Srebro, N. (2008).
Improved Guarantees for Learning via Similarity Functions.
In Proceedings of Annual Conference on Computational Learning Theory pp. 287–298.,
-  Ben-David, S., Blitzer, J., Crammer, K., Kulesza, A., Pereira, F. and Vaughan, J. (2010).
A theory of learning from different domains.
Machine Learning Journal 79, 151–175.
-  Blitzer, J., Foster, D. and Kakade, S. (2011).
Domain adaptation with coupled subspaces.
Journal of Machine Learning Research-Proceedings Track 15, 173–181.
-  Blitzer, J., McDonald, R. and Pereira, F. (2006).
Domain Adaptation with Structural Correspondence Learning.
In Proceedings of Conference on Empirical Methods on Natural Language Processing pp. 120–128.,
-  Bruzzone, L. and Marconcini, M. (2010).
Domain Adaptation Problems : A DASVM Classification Technique and a Circular Validation Strategy.
IEEE Transactions on Pattern Analysis and Machine Intelligence 32, 770–787.
-  Catoni, O. (2007).
PAC-Bayesian supervised classification : the thermodynamics of statistical learning, vol. 56,.
Institute of Mathematical Statistic.
-  Chen, M., Weinberger, K. Q. and Blitzer, J. (2011).
Co-Training for Domain Adaptation.
In Proceedings of Annual Conference on Neural Information Processing Systems pp. 2456–2464.,
-  Daumé III, H. (2007).
Frustratingly Easy Domain Adaptation.
In ACL.



Daumé III, H., Kumar, A. and Saha, A. (2010).

Co-regularization Based Semi-supervised Domain Adaptation.

In NIPS pp. 478–486.,



Germain, P., Lacasse, A., Laviolette, F. and Marchand, M. (2009).

PAC-Bayesian Learning of Linear Classifiers.

In Proceedings of International Conference on Machine Learning.



Huang, J., Smola, A. J., Gretton, A., Borgwardt, K. M. and Scholkopf, B. (2007).

Correcting sample selection bias by unlabeled data.

Advances in neural information processing systems 19, 601.



Jiang, J. and Zhai, C. (2007).

Instance Weighting for Domain Adaptation in NLP.

In Proceedings of Association for Computational Linguistics.



Lacasse, A., Laviolette, F., Marchand, M., Germain, P. and Usunier, N. (2007).

PAC-Bayes Bounds for the Risk of the Majority Vote and the Variance of the Gibbs Classifier.

In Proceedings of annual conference on Neural Information Processing Systems.



Mansour, Y., Mohri, M. and Rostamizadeh, A. (2009a).

Domain Adaptation : Learning Bounds and Algorithms.

In Proceedings of Annual Conference on Learning Theory pp. 19–30.,



Mansour, Y., Mohri, M. and Rostamizadeh, A. (2009b).

Multiple Source Adaptation and the Rényi Divergence.

In Proceedings of annual Conference on Uncertainty in Artificial Intelligence pp. 367–374.,



McAllester, D. A. (1999).

Some PAC-Bayesian Theorems.

Machine Learning Journal 37, 355–363.



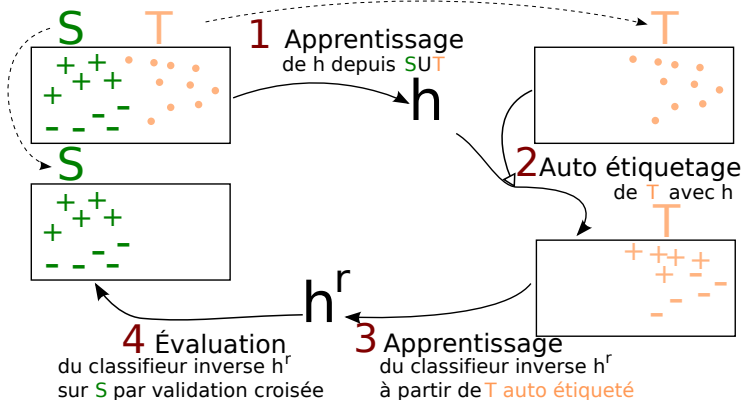
Xu, H. and Mannor, S. (2010).

Robustness and Generalization.

In Proceedings of Annual Conference on Computational Theory pp. 503–515.,

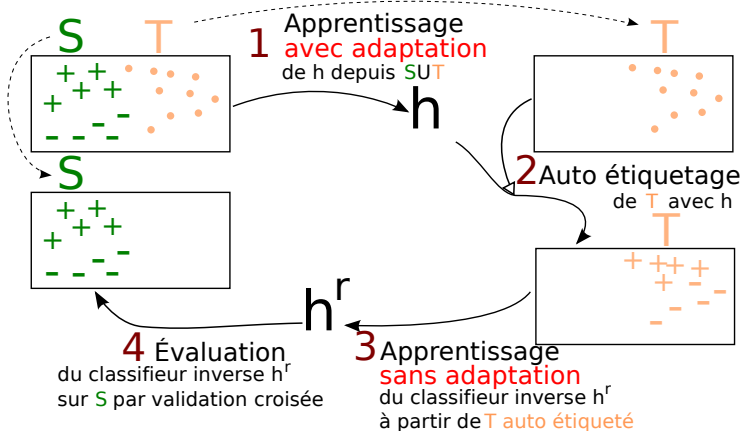
Annexes

Validation inverse/circulaire



Annexes

Validation inverse/circulaire pour DASF



Annexes

DASF - Un petit peu de théorie - Borne en généralisation

- Algorithme robuste [Xu and Mannor, 2010]
 - ▶ Idée : “if a testing sample is similar to a training sample then the testing error is close to the training error” (sans adaptation)

⇒ DASF est robuste sur le domaine source

$$R_{P_T}^L(h) \leq R_s^L(h) + \frac{N_\eta}{\beta B_R + \lambda} + \sqrt{\frac{4M_\eta \ln 2 + 2 \ln \frac{1}{\delta}}{m_s}} + \frac{1}{2} d_H(D_s, D_T) + \nu,$$

Annexes

DASF - Un petit peu de théorie - Analyse de la parcimonie

Lemme

Soit $B_R = \min_{\mathbf{x}'_j \in R} \left\{ \max_{(\mathbf{x}^s, \mathbf{x}^t) \in \mathcal{C}_{ST}} |K(\mathbf{x}^s, \mathbf{x}'_j) - K(\mathbf{x}^t, \mathbf{x}'_j)| \right\} > 0$.

Si α^* est la solution optimale du problème, alors

$$\|\alpha^*\|_1 \leq \frac{1}{\beta B_R + \lambda}.$$

La parcimonie dépend des **hyperparameters** et de B_R

- ⇒ Les domaines sont éloignés
- ⇒ La différence entre les coordonnées est élevée
- ⇒ B_R tend à croître
- ⇒ augmentation de la parcimonie